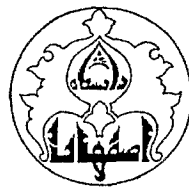


بِسْمِ اللّٰهِ الرَّحْمٰنِ الرَّحِيْمِ

WAMA



دانشگاه اصفهان

دانشکده علوم

گروه زیست‌شناسی

پایان‌نامه‌ی کارشناسی ارشد رشته‌ی زیست‌شناسی - میکروبیولوژی

کاربرد باکتری‌های تولید کننده بیوسورفکتانت در بهبود کیفیت کمپوست

استادان راهنما:

دکتر ایرج نحوی

دکتر سید حمید زرکش

استاد مشاور:

دکتر عبدالخالق بردار

زمین و مطاعات مرکز تحقیقات
تمیزی مرکز

پژوهشگر:

غزاله جهانشاه

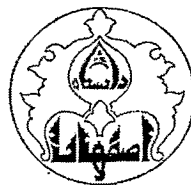
۱۳۸۸/۱۰/۲۷

اسفند ماه ۱۳۸۷

۱۲۹۸۱۹

کلیه حقوق مادی مترتب بر نتایج مطالعات، ابتكارات
و نوآوری‌های ناشی از تحقیق موضوع این پایان‌نامه
متعلق به دانشگاه اصفهان است.

پایان نامه
دانشگاه اصفهان
تکمیلی دانشگاه اصفهان



دانشگاه اصفهان

دانشکده علوم

گروه زیست شناسی

پایان نامه کارشناسی ارشد رشته میکروبیولوژی خانم غزاله جهانشاه تحت عنوان

کاربرد باکتری های تولید کننده بیوسورفتکنات در بهبود کیفیت کمپوست

در تاریخ ۱۴۰۷/۱۲/۱۴ توسط هیأت داوران زیر بررسی و با درجه عالی به تصویب نهایی رسید.

امضا

۱ - استاد راهنمای اول پایان نامه دکتر ایرج نحوی با مرتبه علمی استاد

امضا

۲ - استاد راهنمای دوم پایان نامه دکتر سید حمید زرکش با مرتبه علمی استادیار

امضا

۳ - استاد مشاور پایان نامه دکتر عبدالخالق بردبار با مرتبه علمی استاد

امضا

۴ - استاد داور داخل گروه دکتر زهرا اعتمادی فر با مرتبه علمی استادیار

امضا

۵ - استاد داور خارج از گروه دکتر حاجیه قاسمیان صفائی با مرتبه علمی دانشیار

مهر و امضای مدیر گروه

سید حمید زرکش

با سپاس فراوان از:

استاد فرزانه‌ام، جناب آقای دکتر نحوی که این حاصل را مدیون رهنمودها، راهگشایی‌ها و حمایت‌های بی‌دریغ ایشان هستم.

همراهی و همکاری صمیمانه جناب آقای حنیف خداوردی در تمام مراحل انجام پژوهش.

زحمات جناب آقای دکتر زرکش و جناب آقای دکتر بربار اساتید ارجمند.

مدیریت، معاونان و مسئولین محترم کارخانه کمپوست اصفهان، به ویژه جناب آقای مهندس قنواتی، مهندس بارانی و مهندس میردامادیان که در مدت انجام پروژه از همکاری، معرفت و راهنمایی‌های ارزنده‌شان بهره بردم. همچنین از زحمات و محبت‌های بی‌دریغ جناب آقای عمرانی سپاسگزارم.

حسن همکاری و گره‌گشائی‌های آقایان دباغ، شفیعی و حسامی.

سرکار خانم دکتر اعتمادی‌فر و سرکار خانم دکتر قاسمیان صفائی که زحمت داوری این پایان نامه را پذیرفتند.

تمامی اساتید گران‌قدر گروه زیست‌شناسی به ویژه سرکار خانم دکتر امتیازی، سرکار خانم دکتر کرمانشاهی، جناب آقای دکتر زرکش، جناب آقای دکتر روغنیان و جناب آقای دکتر بوذری.

همه دوستان و همکلاسی‌های عزیزیم به خصوص خانم‌ها سروش، جناب، عروج‌علیان، ولی‌زاده، میثمی و آقایان مرشدی، سجادی، شکری، گلابی و حسن‌شاهیان.

تقدیم به پدر و مادر عزیزم

و

تقدیم به یار و همراه همیشگی ام

همسرم حنیف

چکیده

کمپوست یا کود آلی بقایای تخمیر شده‌ی زباله‌های شهری و یا زوائد زراعی و کشاورزی است که بی آن که زیانی برای خاک‌های کشاورزی داشته باشد، سبب حاصلخیزی و توان بیشتر آن می‌گردد. بیوسورفکتانت‌ها، متابولیت‌های میکروبی هستند، که سبب کاهش کشش سطحی و افزایش تجزیه زیستی می‌شوند. این تحقیق، به منظور بررسی تأثیر این ترکیبات بر بهبود کیفیت کود آلی انجام شد.

در این پژوهش، سویه‌های باکتریایی بومی کمپوست که از توانایی تولید بیوسورفکتانت برخوردار بودند، به روش‌های مختلف بررسی همولیز بلاد آگار، انهاشم قطره، گسترش لکه نفتی، آزمون امولسیون و در نهایت اندازه‌گیری کشش سطحی توسط دستگاه تنسیومتر، غربالگری شده و نهایتاً شناسایی آن‌ها تا حد جنس صورت گرفت. سویه‌های منتخب به جنس‌های باسیلوس و استرپتومیسز تعلق داشتند.

از آن‌جا که تولید بیوسورفکتانت در محیط کشت‌های ساختگی، برای استفاده در صنعت مقرن به صرفه نیست، از آب‌پنیر، برای رشد و تولید بیوسورفکتانت توسط سویه‌های جداسده، استفاده گردید. سویه‌های S، B و سودوموناس آتروجینوزا ATCC3027 به ترتیب کشش سطحی آب‌پنیر را از ۵۷/۸ به ۳۷/۶۲، ۳۷/۸۴ و ۳۵/۹۵ میلی‌نیوتن بر متر کاهش دادند.

تأثیر تلقیح سویه‌های تولید کننده بیوسورفکتانت، مایع رویی محیط کشت حاوی بیوسورفکتانت سویه‌های مذکور و کنسرسیوم سویه‌های تولید کننده بیوسورفکتانت بر کیفیت کود آلی، از طریق مطالعه شاخص‌های کنترل کیفی کمپوست شامل آزمون‌های فیزیکی، شیمیایی، زیستی و میکروبی بررسی شد. در نهایت مشاهده شد، سویه‌های تولید کننده بیوسورفکتانت سبب افزایش جمعیت باکتری‌های کمپوست، کاهش کشش سطحی، افزایش تجزیه مواد آلی و کربن آلی، تسريع فرایند تثبیت و بلوغ کود آلی (کاهش نسبت آمونیوم به نیترات، افزایش درجه حرارت، کاهش سمیت کود آلی) و از همه مهمتر کاهش میزان پاتوژن‌ها می‌شود. مایع رویی حاوی بیوسورفکتانت نیز سبب بهبود کیفیت کود آلی نسبت به شاهد گردید، ولیکن این تأثیر به اندازه تأثیر سویه‌های مذکور مطلوب نبود. همکاری دو سویه B و S بر بهبود کیفیت کمپوست، مطلوب‌ترین نتیجه را در بر داشت.

امکان پاکسازی کود آلی از فلزات سنگین توسط مایع رویی حاوی سویه B جدا شده از کمپوست و سودوموناس آتروجینوزا ATCC3027 نیز بررسی شده و مشخص شد مایع رویی حاوی بیوسورفکتانت سویه‌های فوق، قادر به ایجاد کاهش محسوسی در میزان فلزات سنگین کمپوست می‌باشد. برای مثال، سوپرناتانت ATCC3027 فلزات سنگین سرب، نیکل، کروم و کادمیوم، مس، روی و منگنز موجود در کود آلی را به ترتیب ۵۲، ۴۹، ۴۰، ۳۲، ۳۳، ۶۰ و ۲۲ درصد کاهش داد.

وازگان کلیدی: کمپوست، بیوسورفکتانت، کشش سطحی، سوپرناتانت

فهرست مطالب

صفحه	عنوان
	فصل اول: مقدمه
۱	۱-۱- سورفتاتنها و کشش سطحی
۱	۱-۱-۱- معرفی
۲	۲-۱-۱- خصوصیات سورفتاتنها
۴	۲- بیوسورفتاتنها
۶	۳- دسته‌بندی سورفتاتنها و بیوسورفتاتنها
۶	۳-۱- دسته‌بندی سورفتاتنها
۷	۳-۲- دسته‌بندی بیوسورفتاتنها
۸	۳-۳-۱- گلیکولیپیدها
۸	۳-۱-۱- رامنولیپید
۹	۳-۱-۲- ترهالولیپید
۹	۳-۱-۲-۱- سوفورولیپید
۹	۳-۱-۲-۲- لیپوپتیدها و لیپوپروتئینها
۱۰	۳-۱-۳- اسیدهای چرب، فسفولیپیدها و چربی‌های خنثی
۱۱	۳-۱-۴- بیوسورفتاتنها پلیمری
۱۱	۳-۱-۵- بیوسورفتاتنها ویژه
۱۲	۴- عملکرد بیوسورفتاتنها در تجزیه زیستی
۱۳	۵- نقش‌های فیزیولوژیک بیوسورفتاتن
۱۳	۶- بیوسنتز بیوسورفتاتنها
۱۴	۷- عوامل موثر بر تولید بیوسورفتاتنها
۱۴	۷-۱- منبع کربن
۱۴	۷-۲- منبع نیتروژن
۱۴	۷-۳- عوامل محیطی
۱۵	pH-۱-۳-۷-۱
۱۵	۷-۲- دما

عنوان

صفحه

۱۵	۳-۳-۷-۱- همزنی
۱۵	۴-۳-۷-۱- نمک
۱۵	۵-۳-۷-۱- عوامل دیگر
۱۶	۱-۸-۱- سینتیک تولید فرماتاتیو بیوسورفکتانت
۱۶	۱-۸-۱- تولید وابسته به رشد
۱۶	۱-۸-۲- تولید بیوسورفکتانت در شرایط محدود کننده رشد
۱۷	۱-۸-۳- تولید بیوسورفکتانت توسط سلول‌های در حال استراحت یا سلول‌های ثبیت شده
۱۷	۱-۸-۴- تولید بیوسورفکتانت از طریق افزودن پیش مواد
۱۷	۱-۹- تولید بیوسورفکتانت‌ها از منابع ارزان قیمت
۱۸	۱-۱۰- بازیافت بیوسورفکتانت‌ها
۲۱	۱-۱۱- کاربردهای بیوسورفکتانت‌ها
۲۲	۱-۱۱-۱- کاربرد بیوسورفکتانت‌ها در کشاورزی
۲۲	۱-۱۱-۲- حذف آلاینده‌های هیدروکربنی
۲۳	۱-۱۱-۳- بیوسورفکتانت‌ها و حذف فلزات سنگین
۲۶	۱-۱۱-۴- کاربرد بیوسورفکتانت‌ها در فرآیند تهیه کمپوست
۲۷	۱-۱۲- تاریخچه تولید کمپوست
۲۸	۱-۱۳- کمپوست و کمپوست سازی
۲۸	۱-۱۳-۱- اثرات کمپوست
۲۹	۱-۱۳-۲- تولید کمپوست
۲۹	۱-۱۳-۱- روش‌های تولید کمپوست
۳۰	۱-۱۳-۱-۱- سیستم‌های بازیر و رو کردن مواد
۳۰	۱-۱۳-۱-۱-۱- روش توده‌های سطحی پشت‌های یا ویندرو
۳۲	۱-۱۴-۱- مرافق تهیه کمپوست
۳۳	۱-۱۴-۱- آماده سازی مواد خام
۳۳	۱-۱۴-۱-۱- اقدامات اصلاحی
۳۴	۱-۱۴-۲- تجزیه
۳۵	۱-۱۴-۲-۱- تجزیه هوازی

عنوان	صفحه
۱۴-۱-۲-۲-۲-۱- تجزیه بی‌هوایی	۳۶
۱۴-۱-۳-۲-۳- اندوخته میکروارگانیسم‌های کمپوست	۳۷
۱۴-۱-۳-۲-۱- نقش گروه‌های مختلف میکروارگانیسم‌ها در مراحل تجزیه	۳۸
۱۴-۱-۳-۱- رسیدن و بلوغ کمپوست	۳۹
۱۴-۱-۴- فراوری جهت عرضه به بازار	۴۰
۱۵- کاربرد میکروارگانیسم‌های تولید کننده بیوسورفکتانت در بهبود کیفی کمپوست	۴۰
۱۶- اهمیت و اهداف پژوهش	۴۱

فصل دوم: مواد و روش‌ها

۱-۲- دستگاه‌های مورد استفاده	۴۳
۲-۲- وسایل مورد استفاده	۴۵
۳-۲- مواد مورد استفاده	۴۶
۱-۳-۲- مواد شیمیائی	۴۶
۱-۱-۳-۲- مواد شیمیائی معدنی	۴۶
۱-۱-۳-۲- مواد شیمیائی آلی	۴۸
۲-۳-۲- محلول‌ها و بافرهای مورد استفاده	۴۹
۱-۲-۳-۲- محلول‌های رنگ‌آمیزی روش گرم	۴۹
۲-۲-۳-۲- محلول‌های رنگ‌آمیزی اسپور	۴۹
۳-۲-۳-۲- بافر فسفات نمکی	۵۰
۴-۲-۳-۲- محلول رینگر	۵۰
۳-۳-۲- محیط کشت‌های مورد استفاده و روش تهیه آن‌ها	۵۰
۱-۳-۳-۲- محیط کشت نوترینت برات	۵۰
۲-۳-۳-۲- محیط کشت نوترینت آگار	۵۱
۳-۳-۳-۲- TSB	۵۱
۴-۳-۳-۲- محیط کشت لاکتوز برات	۵۱
۵-۳-۳-۲- EC-MUG	۵۱
۶-۳-۳-۲- محیط کشت آگار سالمونلا شیگلا	۵۲

عنوان

صفحه

۵۲.....	- محیط کشت SIM	-۷-۳-۳-۲
۵۲.....	- محیط کشت آگار خون دار	-۸-۳-۳-۲
۵۲.....	- محیط کشت تخمیر قندها	-۹-۳-۳-۲
۵۳.....	- محیط کشت بوشنل - هاس	-۱۰-۳-۳-۲
۵۳.....	- محیط کشت تولید بیوسورفکتانت	-۱۱-۳-۳-۲
۵۴.....	- محیط کشت آب پنیر	-۱۲-۳-۳-۲
۵۴.....	- میکروارگانیسم های مورد استفاده	-۴-۲
۵۴.....	- روش های مورد استفاده	-۵-۲
۵۴.....	- نمونه برداری	-۱-۵-۲
۵۵.....	- جداسازی و خالص سازی باکتری ها	-۲-۵-۲
۵۶.....	- جداسازی سویه های تولید کننده بیوسورفکتانت	-۳-۵-۲
۵۶.....	- همولبز بلاد آگار	-۱-۳-۵-۲
۵۷.....	- روش انهدام قطره	-۲-۳-۵-۲
۵۷.....	- روش گسترش لکه نفت	-۳-۳-۵-۲
۵۷.....	- آزمایش امولسیون	-۴-۳-۵-۲
۵۸.....	- اندازه گیری کشش سطحی	-۵-۳-۵-۲
۵۹.....	- تولید بیوسورفکتانت	-۴-۵-۲
۵۹.....	- استخراج بیوسورفکتانت	-۵-۵-۲
۶۰.....	- استفاده از آب پنیر به عنوان منبع ارزان قیمت برای تولید بیوسورفکتانت	-۶-۲
۶۰.....	- بررسی رشد و تولید بیوسورفکتانت در آب پنیر	-۱-۶-۲
۶۰.....	- آماده سازی سوسپانسیون میکروبی برای تلقیح به کمپوست	-۲-۶-۲
۶۱.....	- بررسی تأثیر بیوسورفکتانت بر کیفیت کودآلی	-۷-۲
۶۱.....	- نمونه برداری از کودآلی	-۱-۷-۲
۶۲.....	- تعیین محتوای رطوبت کودآلی	-۲-۷-۲
۶۲.....	- تنظیم محتوای رطوبت کودآلی	-۳-۷-۲
۶۳.....	- تیمارهای میکروبی برای تلقیح به کمپوست	-۴-۷-۲
۶۴.....	- اندازه گیری درجه حرارت کودآلی	-۵-۷-۲

عنوان

صفحه

۶۴	-۶-۷-۲- تعیین جمعیت کل باکتری‌ها
۶۴	-۷-۷-۲- اندازه‌گیری کشش سطحی کمپوست
۶۵	-۸-۷-۲- اندازه‌گیری مواد آلی
۶۵	-۹-۷-۲- اندازه‌گیری کربن آلی
۶۶	-۱۰-۷-۲- اندازه‌گیری ازت کل به روش کجلدال
۶۷	-۱۱-۷-۲- محاسبه نسبت کربن به ازت
۶۸	-۱۲-۷-۲- اندازه‌گیری هدایت الکتریکی کمپوست
۶۹	-۱۳-۷-۲- pH- اندازه‌گیری
۶۹	-۱۴-۷-۲- اندازه‌گیری عناصر کل موجود در کمپوست
۷۱	-۱۴-۷-۲- هضم کمپوست با اسید نیتریک
۷۱	-۱۵-۷-۲- اندازه‌گیری میزان فسفر کودآلی
۷۱	-۱۵-۷-۲-۱- اندازه‌گیری فسفر به روش کالیمتری (رنگ زرد مولیبدات وانادات)
۷۲	-۱۶-۷-۲- اندازه‌گیری کلر قابل جذب در کمپوست
۷۳	-۱۷-۷-۲- اندازه‌گیری سدیم قابل جذب در کمپوست
۷۴	-۱۸-۷-۲- اندازه‌گیری عناصر کم مقدار قابل جذب در کمپوست به روش DTPA
۷۵	-۱۹-۷-۲- اندازه‌گیری پتاسیم قابل جذب در کمپوست
۷۶	-۲۰-۷-۲- تعیین نسبت آمونیوم به نیترات
۷۶	-۱-۲۰-۷-۲- اندازه‌گیری ازت آمونیومی
۷۸	-۲-۲۰-۷-۲- اندازه‌گیری ازت نیتراته
۷۸	-۲۱-۷-۲- بررسی سرعت و قدرت جوانه‌زنی بذر در کمپوست
۷۹	-۲۲-۷-۲- بررسی تأثیر بیوسورفتکتانت بر میزان پاتوژن‌های کمپوست
۷۹	-۱-۲۲-۷-۲- شمارش سالمونلا بر روی محیط کشت SS آگار
۸۰	-۲-۲۲-۷-۲- شمارش کلی فرم‌های کل و مدفوعی به روش MPN
۸۰	-۸-۲- امکان سنجی پاکسازی کودآلی از فلزات سنگین
۸۱	-۹-۲- شناسایی بهترین سویه‌های جداسازی شده
۸۱	-۱-۹-۲- ریخت‌شناسی کلنجی‌ها بر روی محیط نوتربینت آگار
۸۱	-۲-۹-۲- واکنش گرم و ریخت‌شناسی باکتری‌ها

عنوان	صفحه
۳-۹-۲- رنگ‌آمیزی اختصاصی اسپور	۸۲
۴-۹-۲- آزمون کاتالاز	۸۲
۵-۹-۲- آزمون اکسیداز	۸۲
۶-۹-۲- تخمیر گلوکز	۸۲
۷-۹-۲- آزمون حرکت	۸۳
۸-۹-۲- آزمون تولید H_2S	۸۳
۹-۹-۲- آزمون تولید اندول	۸۳

فصل سوم: نتایج

۱-۳- نتایج حاصل از جداسازی، خالص‌سازی و تولید بیوسورفکتانت سویه‌ها	۸۴
۲-۳- استفاده از آب پنیر به عنوان منبع ارزان قیمت برای تولید بیوسورفکتانت	۸۹
۲-۳-۱- بررسی رشد و تولید بیوسورفکتانت در آب پنیر	۸۹
۲-۳-۲- آنالیز شیمیایی کود نرم	۹۰
۲-۳-۳- بررسی تأثیر بیوسورفکتانت بر کیفیت کودآلی	۹۱
۳-۱-۴-۳- اندازه‌گیری درجه حرارت کودآلی	۹۱
۳-۲-۴-۳- تعیین جمعیت کل باکتری‌ها	۹۲
۳-۴-۳- اندازه‌گیری کشش سطحی کمپوست	۹۳
۳-۴-۴-۳- اندازه‌گیری مواد آلی	۹۴
۳-۴-۵- محاسبه نسبت کربن به ازت	۹۵
۳-۴-۶- اندازه‌گیری هدایت الکتریکی کمپوست	۹۶
۳-۴-۷- اندازه‌گیری pH	۹۷
۳-۴-۸- اندازه‌گیری عناصر کل موجود در کمپوست	۹۸
۳-۴-۸-۱- اندازه‌گیری میزان فسفر کودآلی	۹۸
۳-۴-۸-۲- منحنی استاندارد	۹۸
۳-۴-۸-۲-۱- اندازه‌گیری کلر، سدیم و پتاسیم قابل جذب در کمپوست	۱۰۰
۳-۴-۸-۳- اندازه‌گیری عناصر کم مقدار قابل جذب در کمپوست به روش DTPA	۱۰۳
۳-۴-۹- تعیین نسبت آمونیوم به نیترات	۱۰۴

صفحه	عنوان
۱۰۴	۳-۴-۹-۶-۱- منحنی استاندارد
۱۰۵	۳-۴-۱۰- بررسی سرعت و قدرت جوانهزنی بذر در کمپوست
۱۰۸	۳-۴-۱۱- بررسی تأثیر بیوسورفکتانت بر میزان پاتوژن‌های کمپوست
۱۰۸	۳-۴-۱۱-۱- شمارش سالمونلا و کلی فرم‌های کل و مدفوعی
۱۰۹	۳-۵- امکان سنجی پاکسازی کودآلی از فلزات سنگین
۱۱۲	۳-۶- شناسایی بهترین سویه‌های باکتریائی جداسازی شده
۱۱۲	۳-۶-۱- مورفولوژی کلنی‌ها در محیط نوترینت آگار
۱۱۳	۳-۶-۲- واکنش گرم، ریخت‌شناسی و آزمون‌های بیوشیمیائی

فصل چهارم: بحث و نتیجه‌گیری

۱۱۴	۴-۱- جداسازی سویه‌های تولید کننده بیوسورفکتانت
۱۱۶	۴-۲- تولید بیوسورفکتانت در محیط کشت آب‌پنیر
۱۱۷	۴-۳- بررسی تأثیر بیوسورفکتانت بر کیفیت کودآلی
۱۱۷	۴-۳-۱- تغییرات درجه حرارت کودآلی در تیمارهای مختلف
۱۱۸	۴-۳-۲- تأثیر تیمارهای مختلف بر جمعیت کل باکتری‌های کمپوست
۱۱۸	۴-۳-۳- تغییرات کشش سطحی کمپوست در تیمارهای مختلف
۱۱۹	۴-۳-۴- تأثیر تیمارهای مختلف در تجزیه مواد آلی کمپوست
۱۲۰	۴-۳-۵- تغییرات نسبت کربن به ازوت
۱۲۱	۴-۳-۶- تغییرات هدایت الکتریکی کمپوست در تیمارهای مختلف
۱۲۱	۴-۳-۷- تغییرات pH در تیمارهای مختلف
۱۲۲	۴-۳-۸- تأثیر تیمارهای مختلف بر عناصر کل موجود در کمپوست
۱۲۲	۴-۳-۹- تعیین نسبت آمونیوم به نیترات
۱۲۳	۴-۳-۱۰- بررسی تأثیر تیمارهای مختلف بر سرعت و قدرت جوانهزنی بذر در کمپوست
۱۲۵	۴-۳-۱۱- بررسی تأثیر بیوسورفکتانت بر میزان پاتوژن‌های کمپوست
۱۲۷	۴-۴- امکان سنجی پاکسازی کودآلی از فلزات سنگین
۱۲۹	نحوه‌گیری کلی
۱۳۰	پیشنهادات
۱۳۱	منابع و مأخذ

فهرست شکل‌ها

صفحه	عنوان
۳	شکل ۱-۱) ساختار میسل، وزیکول و دولایه سورفتانت
۴	شکل ۱-۲) تغییر قابلیت انحلال، کشش سطحی و بین سطحی در اثر افزایش غلظت سورفتانت
۹	شکل ۱-۳) ساختمان مولکولی رامنولیپید، تره‌ها لولیپید و سوفورو لیپید
۱۰	شکل ۱-۴) ساختار سورفتکتین تولید شده توسط باسیلوس سابتیلیس
۱۱۰	شکل ۱-۵) ساختمان فسفاتیدیل اتانول آمین، یک بیوسورفتانت قوی که توسط اسینتوباکتر تولید می‌شود
۱۲	شکل ۱-۶) امولسان، بیوسورفتانت تولید شده توسط اسینتوباکتر کالکو/ستیکوس
۲۴	شکل ۱-۷) جایگاه‌های اتصال به فلزات در بیوسورفتکتین‌های رامنولیپید و سورفتکتین
۲۵	شکل ۱-۸) مکانیسم جذب فلز توسط بیوسورفتانت
۲۵	شکل ۱-۹) اولترافیلتراسیون کمپلکس‌های سورفتکتانت-آلیند (هیدروکربن و فلز)
۳۰	شکل ۱-۱۰) روش‌های مختلف تهیه کود به روش هوازی
۳۲	شکل ۱-۱۱) مراحل تهیه کمپوست در کارخانه کود آلی اصفهان
۳۳	شکل ۱-۱۲) مراحل آماده‌سازی مواد خام
۵۸	شکل ۱-۱۳) دستگاه تنسیومتر
۶۲	شکل ۲-۱) کیسه‌های حاوی کمپوست و تیمارهای میکروبی
۷۰	شکل ۲-۲) دستگاه جذب اتمی
۸۵	شکل ۲-۳) تعداد سویه‌های مثبت تولید کننده بیوسورفتانت در روش‌های مختلف
۸۷	شکل ۲-۴) آزمون گسترش لکه نفتی، هاله ایجاد شده در سطح نفت توسط سویه B
۸۸	شکل ۲-۵) آزمون انهدام قطره
۸۸	شکل ۲-۶) آزمون امولسیون، سویه B
۸۸	شکل ۲-۷) آزمون امولسیون، س. آئروجینوز / ATCC 3027
۸۸	شکل ۲-۸) آزمون امولسیون، سویه S
۸۸	شکل ۲-۹) آزمون امولسیون، شاهد (آب مقطر)
۹۱	شکل ۲-۱۰) تغییرات درجه حرارت در طول انجام پژوهش در تیمارهای مختلف
۹۲	شکل ۲-۱۱) تغییرات تعداد باکتری‌ها در تیمارهای مختلف
۹۳	شکل ۲-۱۲) تغییرات کشش سطحی در تیمارهای مختلف
۹۴	شکل ۲-۱۳) تغییرات درصد مواد آلی در طول زمان انجام پژوهش

شكل ۱۲-۳) تغییرات هدایت الکتریکی در طول انجام پژوهش در تیمارهای مختلف.....	۹۶
شكل ۱۳-۳) تغییرات pH در طول انجام پژوهش در تیمارهای مختلف	۹۷
شكل ۱۴-۳) منحنی استاندارد سری رقت‌های ۲ تا ۲۰ میلی‌گرم KH_2PO_4 در لیتر آب مقطر	۹۸
شكل ۱۵-۳) منحنی استاندارد سری رقت‌های ۱ تا ۱۵ میلی‌گرم کلرید آمونیوم در لیتر آب مقطر	۱۰۴
شكل ۱۶-۳) مقایسه درصد کاهش فلزات سنگین بعد از تیمارهای مختلف.....	۱۱۱
شكل ۱۷-۳) مقایسه میزان فلزات سنگین حذف شده بعد از تیمارهای مختلف	۱۱۲

فهرست جداول‌ها

صفحه	عنوان
۵	جدول ۱-۱) بیوسورفتکنات‌های تولید شده توسط میکرووارگانیسم‌ها
۱۹	جدول ۱-۲) ترکیبات تشکیل دهنده آب‌پنیر اسیدی و شیرین
۲۰	جدول ۱-۳) روش‌های بازیافت بیوسورفتکنات‌های مختلف
۲۳	جدول ۱-۴) عملکردها و زمینه‌های کاربردی بیوسورفتکنات به عنوان یک ماده اختصاصی
۴۲	جدول ۱-۵) استانداردهای ارائه شده کمپوست، توسط WHO و EPA در ایران
۶۳	جدول ۲-۱) تیمارهای میکروبی برای تلقیح به کمپوست
۸۶	جدول ۲-۲) نتایج بررسی تولید بیوسورفتکنات توسط روش‌های مختلف
۸۷	جدول ۲-۳) کشش سطحی سویه‌های تولید کننده بیوسورفتکنات در محیط "بوشنل-هاس" حاوی گلوکز
۸۹	جدول ۳-۱) نتایج اندازه‌گیری کشش سطحی سویه‌های تولید کننده بیوسورفتکنات در آب پنیر
۹۰	جدول ۳-۲) خصوصیات شیمیایی کود نرم مورد استفاده در پژوهش
۹۰	جدول ۳-۳) نتایج آنالیز میکروبی کود نرم مورد استفاده در پژوهش
۹۵	جدول ۳-۴) نسبت نهایی کربن به ازت
۹۹	جدول ۳-۵) مقدار نهایی فسفر کل موجود در نمونه‌های کمپوست
۹۹	جدول ۳-۶) مقدار نهایی پتاسیم کل موجود در نمونه‌های کمپوست
۱۰۰	جدول ۳-۷) مقدار نهایی مواد مخذلی موجود در نمونه‌های کمپوست
۱۰۱	جدول ۳-۸) مقدار کلر قابل جذب در تیمارهای مختلف
۱۰۱	جدول ۳-۹) مقدار سدیم قابل جذب در تیمارهای مختلف
۱۰۲	جدول ۳-۱۰) مقدار پتاسیم قابل جذب در تیمارهای مختلف
۱۰۳	جدول ۳-۱۱) میزان عناصر کم مقدار در تیمارهای مختلف
۱۰۵	جدول ۳-۱۲) نسبت آمونیوم به نیترات در نمونه‌های کمپوست نهایی
۱۰۶	جدول ۳-۱۳) نتایج آزمون جوانه‌زنی گیاه در عصاره کمپوست
۱۰۷	جدول ۳-۱۴) نتایج اندازه‌گیری طول بذرهای جوانه‌زده
۱۰۸	جدول ۳-۱۵) تعداد سالمونلا و کلیفرم‌های کل و مدفووعی نمونه‌های کمپوست
۱۰۹	جدول ۳-۱۶) متوسط میزان فلزات سنگین موجود در کمپوست تیمار شده با مایع رویی محیط کشت س. آئروجینوزا ATCC 3027

عنوان	
صفحه	
جدول ۱۹-۳) متوسط میزان فلزات سنگین موجود در کمپوست تیمار شده با مایع رویی محیط کشت سویه B	۱۱۰
جدول ۲۰-۳) متوسط میزان فلزات سنگین موجود در کمپوست تیمار شده با آب مقطر	۱۱۰
جدول ۲۱-۳) نتایج حاصل از رنگآمیزی گرم و تست‌های کاتالاز، تخمیر گلوکز، حرکت، تولید H_2S و تولید اندول برای بهترین سویه‌های باکتریائی تولید کننده بیوسورفکتانت	۱۱۳

فصل اول

۱- مقدمه و مروری بر منابع

۱-۱- سرفکتانت‌ها و کشش سطحی

۱-۱-۱- معرفی

واژه‌ی **Surfactants** از سه واژه "عوامل فعال در سطح" اقتباس شده است. سرفکتانت‌ها مولکول‌هایی دوگانه دوست^۱ هستند که از دو بخش آبدوست^۲ و آبگریز^۳ (غالباً هیدروکربنی) تشکیل شده‌اند. به بخش آبدوست، سر^۴ و به بخش آبگریز، دم^۵ نیز اطلاق می‌شود (Banat et al., 2002). سرفکتانت‌ها معمولاً در حد فاصل دو فاز با قطبیت متفاوت مانند روغن-آب یا هوا-آب قرار می‌گیرند. این ویژگی باعث کاهش کشش سطحی^۶ و بین سطحی^۷ مایعات شده، و سبب تشکیل میکروامولسیون می‌گردد؛ لذا هیدروکربن‌های نامحلول در آن محلول می‌گردند. علاوه بر این‌ها، خصوصیات پاک‌کنندگی، امولسیون‌سازی، کف‌کنندگی و پراکنده‌کنندگی سرفکتانت‌ها، به همان ویژگی مذکور مربوط می‌شود (Christofi and Ivshina, 2002).

^۱. Amphiphilic

^۲. Hydrophilic

^۳. Hydrophobic

^۴. Head

^۵. Tail

^۶. Surface tension

^۷. Interfacial tension

۱-۲-۱- خصوصیات سورفکتانت‌ها

اغلب سورفکتانت‌های موجود از مشتقان نفت می‌باشند. کشش سطحی آب مقطر حدود ۷۲ میلی‌نیوتون بر متر^۱ است؛ سورفکتانت قادر است این مقدار را تا حدود ۲۷ میلی‌نیوتون بر متر کاهش دهد. برای هر سورفکتانت حد غلظتی در فاز آبی وجود دارد با عنوان "غلظت بحرانی تشکیل میسل (CMC)"^۲. چنانچه غلظت یک سورفکتانت به این حد بحرانی برسد، یا از این حد فراتر رود، تشکیل میسل می‌دهد (Banat et al., 2002)؛ که در این غلظت دیگر کاهشی در کشش سطحی و بین سطحی مشاهده نمی‌شود (شکل ۱-۲). سورفکتانت‌ها در غلظت‌های پایین به صورت مولکول‌های منفرد یا یون در محلول پراکنده‌اند. با افزایش غلظت، مقادیر اضافی سورفکتانت به صورت میسل^۳، وزیکول^۴ و یا ساختارهای دو لایه^۵ تجمع می‌یابند. نوع و اندازه‌ی ساختار تشکیل شده، تشکیل شده بستگی به ساختار سورفکتانت و pH محلول دارد. کوچکترین ساختمان‌های پایه‌ای تشکیل شده، میسل‌ها هستند که قطرشان کمتر از ۵ نانومتر است. در میسل‌ها، سرهای قطبی به سمت محیط آبی و دم‌های غیرقطبی به سمت مرکز آب‌گریز میسل جهت یافته‌اند (شکل ۱-۱). وزیکول‌ها ساختارهایی به قطر ۱۰ نانومتر تا بیش از ۵۰۰ نانومتر می‌باشند که از دو لایه مولکول سورفکتانت تشکیل شده‌اند. سرهای قطبی سورفکتانت‌های دو لایه به سمت محیط و دم‌های غیرقطبی بین سرها تمرکز یافته‌اند، به گونه‌ای که داخل و خارج یک وزیکول آب-دوست بوده و قسمت دو لایه درونی آب‌گریز می‌باشد (شکل ۱-۱). بزرگترین ساختار سورفکتانت‌ها دو لایه‌ها می‌باشند که محدودیتی در اندازه‌شان وجود ندارد. دو لایه‌ها صفحاتی مسطح و انعطاف پذیرند که اگر بین سطوح، برای مثال گاز-مایع یا مایع-مایع قرار گیرند خصوصیات نامتقارنی از خود نشان می‌دهند (Miller, 1995). شکل ۱-۲ نشان دهنده چگونگی تغییر خصوصیات فیزیکی با افزایش غلظت سورفکتانت می‌باشد.

^۱. mN.m^{-۱}

^۲. Critical Micelle Concentration (CMC)

^۳. Micelles

^۴. Vesicle

^۵. Bilayers